

单圈图最小特征值的上界

徐光辉

(浙江林学院基础部, 临安 311300)

摘要 设 G 为 n 阶简单图, $\lambda_n(G)$ 为 G 的最小特征值。本文证明了: 若 G 为 n 阶单圈图, G^* 为 C_3 的每个顶点分别与 $P_{k-1}, P_{k_1-1}, P_{k_2-1}$ 的一个一度点相连而得的单圈图, 其中 $k \geq k_1 \geq k_2 \geq 1, k - k_2 \leq 1, k + k_1 + k_2 = n$, 则 $\lambda_n(G) \leq \lambda_n(G^*)$ 等号成立当且仅当 $G \cong G^*$ 。

关键词 连通图; 单圈图; 诱导子图; 特征值

中图分类号 O157.5

设 G 为 n 阶简单图, G 的特征多项式为 $P(G; \lambda)$ (以后将简记为 $P(G)$); 其特征值可按大小顺序排列为 $\lambda_1(G) \geq \lambda_2(G) \geq \dots \geq \lambda_n(G)$; 称 $\lambda_n(G)$ 为 G 的最小特征值。目前, 关于最小特征值的上界, 已经有一些较好的结果。文献[1] 证明了: 若 G 是连通图, $G \not\cong K_n$, 则

$$\lambda_n(G) \leq \lambda_n(K_{n-1}^1)$$

等号成立当且仅当 $G \cong K_{n-1}^1$ 。这里 K_{n-1}^1 是 K_{n-1} 的任一顶点与一孤立点相连而得的图。

现在考虑一类特殊图即单圈图的最小特征值。所谓单圈图就是其边数等于点数的连通图。本文证明了: 若 G 为 n 阶单圈图, G^* 为 C_3 的每个顶点分别与 $P_{k-1}, P_{k_1-1}, P_{k_2-1}$ 的一个一度点相连而得的单圈图, 其中 $k \geq k_1 \geq k_2 \geq 1, k - k_2 \leq 1, k + k_1 + k_2 = n$, 则

$$\lambda_n(G) \leq \lambda_n(G^*)$$

等号成立当且仅当 $G \cong G^*$ 。

1 引理和定理

首先给出一些引理。

引理 1 设 G 为简单图, $v \in V(G), C(v)$ 为包含 v 的所有回路集合, 则

$$P(G) = \lambda P(G-v) - \sum_{u \sim v} P(G-v-u) - 2 \sum_{Z \in C(v)} P[G - V(Z)].$$

证明 见文献[2]。

收稿日期: 1997-12-01

作者简介: 徐光辉, 男, 1965年生, 讲师, 硕士

引理 2 对 n 阶简单图 G , 设 $V' \subset V(G)$, 且 $|V'| = k$, 则

$$\lambda_i(G) \geq \lambda_i(G - V') \geq \lambda_{i+k}(G) \quad (1 \leq i \leq n - k).$$

证明 见文献[3].

引理 3 设 G_1, G_2, G_3, G_4 为如图 1 所示的树, 则其最小特征值都为 -2 .

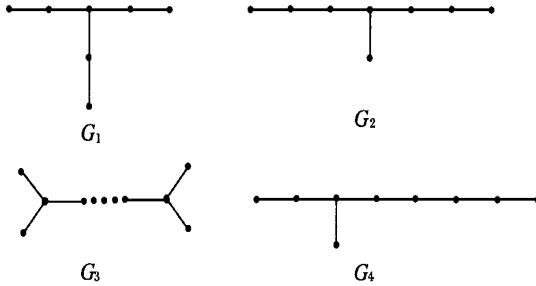


图 1 G_1, G_2, G_3, G_4

Figure 1 G_1, G_2, G_3, G_4

证明 见文献[3].

引理 4 设 T 为 n 阶树, 且 $T \not\cong P_n$, T^* 为 P_3 的 2 度点与 P_{n-3} 的一个 1 度点相连而得的树, 则

$$\lambda_n(T) \leq \lambda_n(T^*)$$

等号成立当且仅当 $T \cong T^*$.

证明 显然 $n \geq 4$. 由文献[3] 可知 $\lambda_n(T^*) = -2 \cos \frac{\pi}{2n-2}$. 下面分几种情形分别考虑:

1° 当 $4 \leq n < 9$ 时, 由文献[3] 知结论成立.

2° 当 $n \geq 9$ 时,

(1) 若存在一点 $v \in V(T)$, $d(v) \geq 4$, 则 $\lambda_n(T) \leq \lambda_5(K_{1,4}) = -2 < \lambda_n(T^*)$;

(2) 若存在两点 $u, v \in V(T)$, $d(u) = d(v) = 3$, 则必有形如图 1 中 G_3 的诱导子圈, 故

$$\lambda_n(T) \leq -2 < \lambda_n(T^*);$$

(3) 若恰有一点 $v \in V(T)$, $d(v) = 3$, 则若 $T \not\cong T^*$, T 必有形如图 1 中 G_1, G_2, G_4 的诱导子图, 从而有 $\lambda_n(T) \leq -2 < \lambda_n(T^*)$.

故 $n \geq 9$ 时结论也成立, 从而引理得证.

引理 5 设 T 为 n 阶树, $T \not\cong P_n$, 则

$$\lambda_n(T) < \lambda_{n+1}(P_{n+1}) \quad (n > 4).$$

证明 由引理 4 知 $\lambda_n(T) \leq \lambda_n(T^*) = -2 \cos \frac{\pi}{2n-2}$. 又 $\lambda_{n+1}(P_{n+1}) = -2 \cos \frac{\pi}{n+2}$, 而 $n > 4$ 时 $2n-2 > n+2$, 从而 $\lambda_n(T^*) < \lambda_{n+1}(P_{n+1})$, 因而必有

$$\lambda_n(T) < \lambda_{n+1}(P_{n+1}).$$

下面考虑单圈图. 首先给出一个定义:

定义 记如图 2 所示的 n 阶单圈图为 $C_3(T_1, T_2, T_3)$, 其中 T_i 是以 u_i 为根点的树 ($i =$

1, 2, 3)。

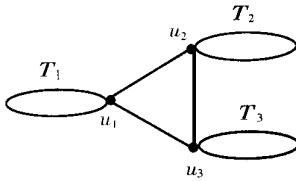


图 2 $C_3(T_1, T_2, T_3)$

Figure 2 $C_3(T_1, T_2, T_3)$

由此可得以下引理:

引理 6 设 G^* 为如前所述的 n 阶单圈图, 则

(1) 当 $n = 3k$ 或 $n = 3k - 1$ 时,

$$\lambda_n(G^*) = \lambda_{2k}(P_{2k}) = -2\cos\frac{\pi}{2k+1};$$

(2) 当 $n = 3k - 2$ 时,

$$\lambda_{2k}(P_{2k}) < \lambda_n(G^*) \leq \lambda_{2k-1}(P_{2k-1}).$$

证明:

(1) 当 $n = 3k$ 时, 由于 P_n 的特征多项式为 $U_n(\frac{\lambda}{2})$, 其中 $U_n(x)$ 为第 2 类 Chebyshev 多项式^[4], 故由引理 1 有(为方便起见, 以下 $U_n(\frac{\lambda}{2})$ 简记为 U_n):

$$P(G^*) = \lambda U_{k-1} U_{2k} - U_{k-2} U_{2k} - 2U_{k-1}^2 U_k - 2U_{k-1}^3 = U_k U_{2k} - 2U_{k-1}^2 (U_k + U_{k-1}),$$

$$U_{2k} = U_k^2 - U_{k-1}^2,$$

$$P(G^*) = (U_k + U_{k-1})^2 (U_k - 2U_{k-1}).$$

由于 $\lambda = -2\cos\frac{\pi}{2k+1}$ 是 $U_{2k}(\frac{\lambda}{2})$ 的零点, 但不是 $U_k - U_{k-1}$ 的零点, 故它必是 $U_k + U_{k-1}$ 的零点, 从而是 $P(G^*)$ 的二重特征值。

又由引理 2 可知 $\lambda_{n-2}(G^*) \geq \lambda_k(P_k)$, 故必

$$\lambda_{n-1}(G^*) = \lambda_n(G^*) = \lambda_{2k}(P_{2k}) = -2\cos\frac{\pi}{2k+1}.$$

而当 $n = 3k - 1$ 时, 由引理 2 有:

$$\lambda_{n+1}[C_3(P_k, P_k, P_k)] \leq \lambda_n(G^*) \leq \lambda_{2k}(P_{2k}),$$

$$\text{且 } \lambda_{n+1}[C_3(P_k, P_k, P_k)] = -2\cos\frac{\pi}{2k+1}.$$

$$\text{故也有 } \lambda_n(G^*) = \lambda_{2k}(P_{2k}) = -2\cos\frac{\pi}{2k+1}.$$

(2) 当 $n = 3k - 2$ 时, 首先由引理 2 有

$$\lambda_{n+1}[C_3(P_k, P_k, P_{k-1})] \leq \lambda_n(G^*) \leq \lambda_{2k-1}(P_{2k-1}),$$

$$\text{故 } \lambda_{2k}(P_{2k}) \leq \lambda_n(G^*) \leq \lambda_{2k-1}(P_{2k-1}).$$

下证左边等号不可能成立[以下 $C_3(P_{k_1}, P_{k_2}, P_{k_3})$ 将简记为 C_{k_1, k_2, k_3}].

若 $\lambda_n(G^*) = \lambda_{2k}(P_{2k})$, 此时 $G^* \cong C_{k, k-1, k-1}$, 则由引理 1 有

$$P(C_{k, k, k-1}) = \lambda P(C_{k, k-1, k-1}) - P[C_{(k, k-1, k-2)}].$$

$$\text{故 } P[C_{k, k-1, k-2}; \lambda_{2k}(P_{2k})] = 0.$$

$$\text{同理 } P(C_{k, k-1, k-1}) = \lambda P(C_{k, k-1, k-2}) - P(C_{k, k-1, k-3}),$$

从而 $P[C_{k, k-1, k-3}; \lambda_{2k}(P_{2k})] = 0$. 最后可得

$$P[C_{k, k-1, 2}; \lambda_{2k}(P_{2k})] = P[C_{k, k-1, 1}; \lambda_{2k}(P_{2k})] = 0.$$

$$\text{而 } P[C_{k, k-1, 2}] = \lambda P(C_{k, k-1, 1}) - P(C_{k, k-1, 0}).$$

这里 $C_{k, k-1, 0} \cong P_{2k-1}$, 故有

$$P[P_{2k-1}; \lambda_{2k}(P_{2k})] = 0,$$

这显然是不可能的。因此, 我们有

$$\lambda_{2k}(P_{2k}) < \lambda_n(G^*) \leq \lambda_{2k-1}(P_{2k-1}).$$

现在我们考虑圈长 ≥ 4 的单圈图。我们有:

引理 7 设 G 为圈长 ≥ 4 的 n 阶单圈图, 则

(1) $G \cong C_5$ 时, $\lambda_5(G) = \lambda_5(G^*)$;

(2) $G \not\cong C_5$ 时, $\lambda_n(G) < \lambda_n(G^*)$ 。

证明

(1) 因为 $\lambda_5(G) = \lambda_5(C_5) = -2\cos \frac{\pi}{5}$, 而 $\lambda_5(G^*) = \lambda_4(P_4) = -2\cos \frac{\pi}{5}$, 从而结论成立。

(2) $G \not\cong C_5$ 时, 则分以下几种情形:

① G 是偶圈或含有偶圈, 则

$$\lambda_n(G) \leq -2 < \lambda_n(G^*);$$

② G 是奇圈或含有奇圈, 此时必 $n \geq 6$ 。若 G 中形成圈的点其度数都大于 2, 则 G 必有形如图 1 中 G_3 的诱导子图。从而

$$\lambda_n(G) \leq -2 < \lambda_n(G^*).$$

若 G 中形成圈的点中有一点 $v, d(v) = 2$, 则易知 $G - v$ 为 $n - 1$ 阶树, 故有

$$\lambda_n(G) \leq \lambda_{n-1}(G - v) \leq \lambda_{n-1}(P_{n-1}) = -2\cos \frac{\pi}{n}.$$

而当 $n = 3k$ 或 $n = 3k - 1$ 时, 由 $n \geq 6$ 知必 $n > 2k + 1$, 故

$$\lambda_n(G) \leq -2\cos \frac{\pi}{n} < -2\cos \frac{\pi}{2k+1} = \lambda_n(G^*);$$

当 $n = 3k - 2$ 时, 必有 $n \geq 2k + 1$, 故

$$\lambda_n(G) \leq -2\cos \frac{\pi}{n} \leq -2\cos \frac{\pi}{2k+1} < \lambda_n(G^*).$$

因此 $G \not\cong C_5$ 时总有 $\lambda_n(G) < \lambda_n(G^*)$ 。

下面只要讨论含有 C_3 的单圈图。我们有以下的引理:

引理 8 设 $G \cong C_3(T_1, T_2, T_3)$ 为如前所定义的 n 阶单圈图, 则 $\lambda_n(G) \leq \lambda_n(G^*)$, 等号成立当且仅当 $G \cong G^*$ 。

证明 设 $G \not\cong G^*$, 则

(1) 若 T_1, T_2, T_3 中至少有 2 棵树不是路, 或虽然是路但其根点不是一度点, 那么 G 必有形如图 1 中 G_4 的诱导子图, 故

$$\lambda_n(G) \leq -2 < \lambda_n(G^*).$$

(2) 若 T_1, T_2, T_3 中恰有 1 棵树不是路, 或虽然是路但其根点不是一度点, 则当 $n = 3k$ 时, G 必有诱导子图 T, T 为 $2k$ 阶树且 $T \not\cong P_{2k}$, 从而

$$\lambda_n(G) \leq \lambda_{2k}(T) < \lambda_{2k}(P_{2k}) = \lambda_n(G^*);$$

当 $n = 3k - 1$ 或 $n = 3k - 2$ 时, 若 $k = 2$, 则由文献 [3] 可知结论成立。若 $k \geq 3$, 则 G 必有诱导

子图 T , T 为 $2k-1$ 阶树且 $T \not\cong P_{2k-1}$, 从而由引理 5 可知 $\lambda_n(G) \leq \lambda_{2k-1}(T) < \lambda_{2k}(P_{2k}) \leq \lambda_n(G^*)$.

(3) 若 T_1, T_2, T_3 都为路且其根点为一度点或孤立点, 则由 $G \not\cong G^*$ 可知, 当 $n=3k$ 时, G 必有诱导子图 P_{2k+1} , 从而

$$\lambda_n(G) \leq \lambda_{2k+1}(P_{2k+1}) < \lambda_n(G^*);$$

当 $n=3k-2$ 时, G 必有诱导子图 P_{2k} , 从而

$$\lambda_n(G) \leq \lambda_{2k}(P_{2k}) < \lambda_n(G^*);$$

当 $n=3k-1$ 时, 若 $G \not\cong C_3(P_{k+1}, P_{k-1}, P_{k-1})$, 则 G 必有诱导子图 P_{2k+1} , 从而也有 $\lambda_n(G) < \lambda_n(G^*)$. 若 $G \cong C_3(P_{k+1}, P_{k-1}, P_{k-1})$, 则首先 $\lambda_n(G) \leq \lambda_n(G^*)$, 又

$$P(G) = \lambda P(C_{k, k-1, k-1}) - P(C_{k-1, k-1, k-1}).$$

而此时 $G^* \cong C_3(P_k, P_{k-1}, P_{k-1}) = C_{k, k, k-1}$, 则

$$P(G^*) = \lambda P(C_{k, k-1, k-1}) - P(C_{k, k-2, k-1}),$$

故

$$P(G) - P(G^*) = P(C_{k, k-2, k-1}) - P(C_{k-1, k-1, k-1}).$$

同理 $P(C_{k, k-2, k-1}) - P(C_{k-1, k-1, k-1}) = P(C_{k-1, k-3, k-1}) - P(C_{k-2, k-2, k-1})$.

继续这个过程可得

$$\begin{aligned} P(G) - P(G^*) &= P(C_{2, 0, k-1}) - P(C_{1, 1, k-1}) = \\ &= U_{k+1} - (\lambda U_k - U_{k-1} - \lambda U_{k-2} - 2U_{k-2}) = \\ &= (\lambda + 2)U_{k-2}, \end{aligned}$$

因此

$$P(G; -2\cos \frac{\pi}{2k+1}) \neq 0,$$

从而

$$\lambda_n(G) < -2\cos \frac{\pi}{2k+1} = \lambda_n(G^*).$$

因此, 当 $G \not\cong G^*$ 时, 我们总有 $\lambda_n(G) < \lambda_n(G^*)$, 从而引理得证。

2 结论

现在, 我们不难得到本文的主要结果。

定理 设 G 为任一 n 阶单圈图, G^* 为如前所定义的 n 阶单圈图, 则

$$\lambda_n(G) \leq \lambda_n(G^*)$$

等号成立当且仅当 (1) $n=5$ 时, $G \cong G^*$ 或 $G \cong C_5$; (2) $n \neq 5$ 时, $G \cong G^*$ 。

证明 由引理 7 与引理 8 立得。

参 考 文 献

- 1 Hong Y. On the least eigenvalue of a graph. *Syst Sci & Math*, 1993, **6** (3): 269~272
- 2 Schwenk A. Computing the characteristic polynomial of a graph. In: Bary R. Harary F. *Graphs and combinatorics, lecture notes in mathematics* No 406. Berlin: Springer-Verlag, 1974. 247~261
- 3 Cvetkovic D. Doob M, Sachs H. *Spectra of graphs theory and application*. New York: Academic Press, 1980. 77; 268~291
- 4 Cvetkovic D. Rowlinson P. Spectra of unicyclic graphs. *Graph & Comb*, 1987, **3**: 7~23

Xu Guanghui (Zhejiang Forestry College, Lin'an 311300, PRC). **Upper bound on the least eigenvalue of unicyclic graphs.** *Journal of Zhejiang Forestry College*. 1998, **15** (3): 304~309

Abstract: Let G be a simple graph with n vertices and $\lambda_n(G)$ be the least eigenvalue of G . If G is a unicyclic graph with n vertices, G^* is the graph obtained by joining each vertex of C_3 to a vertex with degree one of $P_{k-1}, P_{k_1-1}, P_{k_2-1}$, respectively, where $k \geq k_1 \geq k_2 \geq 1, k - k_2 \leq 1, k + k_1 + k_2 = n$, then $\lambda_n(G) \leq \lambda_n(G^*)$ and the equality holds if and only if $G \cong G^*$.

Key words: connected graph; unicyclic graph; induced subgraph; characteristic value